

Complément Sup - Introduction à la topologie et au calcul différentiel

Emett Haddad

06/06/2024

1 Introduction à la topologie

On note dans la suite E un espace vectoriel normé (evn) i.e. doté d'une norme notée $\|\cdot\|$. On pourra considérer que $E = \mathbb{R}^2$ et $\|x\| = \sqrt{x_1^2 + x_2^2}$ la norme 2 sans perte de généralité. Toutes les propriétés évoquées ici sont similaires dans les deux cas.

Définition 1. Boule ouverte, boule fermée et sphère

Soit $a \in E$ et $r > 0$ alors on définit :

- La boule ouverte de centre a , rayon r : $B_o(a, r) = \{x \in E, \|x - a\| < r\}$
- La boule fermée de centre a , rayon r : $B_f(a, r) = \{x \in E, \|x - a\| \leq r\}$
- La sphère de centre a , rayon r : $S(a, r) = \{x \in E, \|x - a\| = r\}$

1.1 Ouverts et fermés

Définition 2. Ouvert d'un espace vectoriel normé

On dit que $\mathcal{U} \subset E$ est ouvert dès lors que : $\forall x \in \mathcal{U}, \exists r_x > 0, B_o(x, r_x) \subset \mathcal{U}$

Exemples: On a $H = \{(x, y) \in \mathbb{R}^2, y > 0\}$ et $B_o(a, r)$ et $B_f(a, r)^C$ sont des ouverts.

On peut aussi définir la notion de voisinage d'un point.

Définition 3. Voisinage d'un point

On dit que V est voisinage de a , que l'on note $V \in \mathcal{V}(a)$, dès lors qu'il existe \mathcal{U} un ouvert tel que: $x \in \mathcal{U} \subset V$.

Remarque: Les ouverts sont les seuls ensembles qui sont voisinages de tous leurs points.

Exemple: $[-1, 1[$ est voisinage de 0, mais n'est ni ouvert, ni fermé.

Proposition 1. Propriétés des ouverts

Avec $(\mathcal{U}_i)_{i \in I}$ des ouverts

- \emptyset et E sont ouverts
- $\bigcup_{i \in I} \mathcal{U}_i$ est ouvert
- $\bigcap_{i \in I} \mathcal{U}_i$ est ouvert si $|I| < +\infty$

Démonstration 1. Les deux premiers points sont naturels. Pour le dernier point, on prend le minimum des rayons, qui est bien non nul.

Définition 4. Fermé

On dit que $F \subset E$ est fermé dès lors que F^C est ouvert.

Remarque: Les boules fermées sont fermées. Les singletons sont fermés.

Proposition 2. Propriétés des fermés

Avec $(F_i)_{i \in I}$ des fermés

- \emptyset et E sont fermés
- $\bigcap_{i \in I} F_i$ est fermé
- $\bigcup_{i \in I} F_i$ est fermé si $|I| < +\infty$

Démonstration 2. Passage au complémentaire sur la proposition 1.

Proposition 3. Caractérisation séquentielle des fermés d'un evn

On a $[F \subset E \text{ est fermé}] \iff [\forall (u_n)_{n \in \mathbb{N}} \in F^{\mathbb{N}}, [u_n \xrightarrow{n \rightarrow \infty} l] \implies [l \in F]]$

Démonstration 3. \Rightarrow : Si on suppose F fermé, alors supposons par l'absurde qu'une suite u de F ne converge pas dans F . On a alors $u_n \rightarrow l \in F^C$ qui est ouvert car F est fermé. D'où APCR, u_n est dans un voisinage de l contenu dans F^C et donc APCR $\forall n > N, u_n \in F^C$. Absurde car la suite u est dans F i.e. $\forall n, u_n \in F$.

\Leftarrow : Si l'on suppose que les suites de F convergentes convergent dans F , supposons par l'absurde que F n'est pas fermé. Alors $\exists x \notin F, \forall \epsilon > 0, B_o(x, \epsilon) \not\subset F^C$. D'où en posant $\epsilon = \frac{1}{n+1}$ et $x_n \in B_o(x, \frac{1}{n+1}) \cap F$ donné par l'assertion précédente, on a $x_n \xrightarrow{n \rightarrow \infty} x$, depuis F , et l'on rappelle que $x \notin F$. Absurde.

Exemple: $S(a, r) = B_f(a, r) \cap B_o(a, r)^C$ est donc un fermé, car intersection de fermés.

1.2 Adhérence et intérieur

Définition 5. Adhérence

Soit $A \subset E$. On pose $\overline{A} := \{x \in E \mid \forall \epsilon > 0, B_o(x, \epsilon) \cap A \neq \emptyset\}$ l'adhérence de l'ensemble A .
On dit que $x \in E$ est adhérent à A si et seulement si $x \in \overline{A}$

Exemples et remarques:

- On a \overline{A} est un fermé de E .
- On a $A \subset \overline{A}$ par la définition et si $A \subset B, \overline{A} \subset \overline{B}$ (croissance de l'adhérence).
- On remarque que $\overline{A} = \bigcap_{A \subset F} F$ où les F sont fermés (le plus petit des fermés contenant A).
- $\forall a \in E, r > 0, \overline{B_o(a, r)} = B_f(a, r)$.

Proposition 4. On a $[A = \overline{A}] \iff [A \text{ est fermé}]$

Démonstration 4.

$$\begin{aligned} A \text{ est fermé} &\iff A^C \text{ est ouvert} \iff \forall x \notin A, \exists r > 0, B_o(x, r) \subset A^C \\ &\iff \forall x \notin A, \exists r > 0, B_o(x, r) \cap A = \emptyset \iff \forall x \notin A, x \notin \overline{A} \iff A = \overline{A} \end{aligned}$$

Définition 6. Intérieur

Soit $A \subset E$. On pose $\overset{\circ}{A} := \{x \in E | \exists \epsilon > 0, B_o(x, \epsilon) \subset A\}$ l'intérieur de l'ensemble A .

Remarques:

- On a $\overset{\circ}{A}$ est un ouvert de E .
- On a $\overset{\circ}{A} \subset A$ par la définition et si $A \subset B$, $\overset{\circ}{A} \subset \overset{\circ}{B}$ (croissance de l'intérieur).
- On remarque que $\overset{\circ}{A} = \bigcup_{\theta \subset A} \theta$ où les θ sont ouverts (le plus grand des ouverts contenus dans A).
- $\forall a \in E, r > 0, B_f(a, r) = B_o(a, r)$.

Définition 7. Frontière

Soit $A \subset E$. On pose $\partial A := \overline{A} \setminus \overset{\circ}{A}$, la frontière de A .

Remarque: On a alors $\overline{A} = A \cup \partial A$ et $\overset{\circ}{A} = A \setminus \partial A$.

2 Fonctions à plusieurs variables

On peut alors commencer à faire de l'analyse sur des fonctions de plusieurs variables. On considère donc ici $E = \mathbb{R}^n$ des fonctions $f : \mathcal{U} \subset \mathbb{R}^n \rightarrow \mathbb{R}$. On suppose ici \mathcal{U} un ouvert.

2.1 Gradient et développement limité

Définition 8. Fonctions $\mathcal{C}^1(\mathcal{U})$

On dit que $f : \mathcal{U} \subset \mathbb{R}^n \rightarrow \mathbb{R}$ est $\mathcal{C}^1(\mathcal{U})$ dès lors que pour tout i , $\partial_i f$ sont définies et continues sur \mathcal{U} .

Théorème 1. Développement limité d'ordre 1

Si $f : \mathcal{U} \subset \mathbb{R}^n \rightarrow \mathbb{R}$ est $\mathcal{C}^1(\mathcal{U})$ alors pour $a \in \mathcal{U}$ et $h \in \mathbb{R}^n$ tel que $a + h \in \mathcal{U}$ on a :

$$f(a + h) = f(a) + \langle \nabla f(a), h \rangle + o_{h \rightarrow 0}(\|h\|)$$

On peut alors définir le gradient et la dérivée directionnelle de f selon une direction.

Définition 9. Gradient et dérivée directionnelle

Soit $f : \mathcal{U} \subset \mathbb{R}^n \rightarrow \mathbb{R}$ tel que $f \in \mathcal{C}^1(\mathcal{U})$, avec $a \in \mathcal{U}$ et $h \in \mathbb{R}^n$

- $D_h f(a) := \lim_{t \rightarrow 0} \frac{f(a+th) - f(a)}{t} \in \mathbb{R}$
- $\nabla f(a) := (\partial_i f(a))_{i=1}^n \in \mathbb{R}^n$

Remarque: L'existence de la première grandeur est donnée par la proposition suivante.

Proposition 5. Lien entre gradient et dérivée directionnelle

Soit $f : \mathcal{U} \subset \mathbb{R}^n \rightarrow \mathbb{R}$ tel que $f \in \mathcal{C}^1(\mathcal{U})$, avec $a \in \mathcal{U}$ et $h \in \mathbb{R}^n$. Alors on a :

$$D_h f(a) = \langle \nabla f(a), h \rangle = \sum_{i=1}^n \partial_i f(a) h_i$$

Démonstration 5. Comme $f \in \mathcal{C}^\infty(\mathcal{U})$ on peut appliquer le développement limité à l'ordre 1 en a quitte à poser $u = th$ et faire tendre t vers 0. Ce qui donne

$$\frac{f(a+th) - f(a)}{t} = \frac{f(a) + \langle \nabla f(a), th \rangle + \frac{o}{t \rightarrow 0}(\|th\|) - f(a)}{t} = \langle \nabla f(a), h \rangle + \frac{\|th\|}{t} \epsilon(\|th\|) \xrightarrow{t \rightarrow 0} \langle \nabla f(a), h \rangle$$

Remarques:

- $df(a) : \mathbb{R}^n \rightarrow \mathbb{R}$ qui a $h \mapsto \langle \nabla f(a), h \rangle$ est linéaire et continue par rapport à h (C.S.) et en un certain sens $df : a \mapsto df(a)$ est continue car les dérivées partielles sont continues. On l'appelle la différentielle de f en a . On constate ici que h est quelconque.
- On peut comprendre à l'aide des lignes de niveau de la fonction $f : (x, y) \mapsto x^2 + y^2$ que le gradient, ici $\nabla f(x, y) = (2x, 2y)$, pointe l'orthogonale des lignes de niveau, et pointe la direction de plus forte croissance, ce que l'on démontre ci-après.
- Si $\nabla f(a) \neq 0$, on a $\frac{\nabla f(a)}{\|\nabla f(a)\|} = \operatorname{argmax}_{\|h\|=1} D_h f(a)$ (argmax désigne l'élément qui atteint le maximum, ici parmi ceux de norme 1). De même, $\frac{-\nabla f(a)}{\|\nabla f(a)\|} = \operatorname{argmin}_{\|h\|=1} D_h f(a)$, on dit qu'il s'agit d'une direction de descente ...

Preuve: On a, en considérant $\|h\| = 1$ que $D_h f(a) = \langle \nabla f(a), h \rangle \leq \|\nabla f(a)\| \cdot \|h\| = \|\nabla f(a)\|$. Le cas d'égalité est pour $h_0 = \lambda \nabla f(a)$ où $\lambda > 0$. Or $\|h_0\| = 1$. D'où le résultat, on a $h_0 = \frac{\nabla f(a)}{\|\nabla f(a)\|}$.

2.2 Arc paramétré et ligne de niveau

Définition 10. Arc paramétré \mathcal{C}^1

Soit $I \subset \mathbb{R}$ un intervalle.

On dit que $\gamma : I \rightarrow \mathbb{R}^n$, $t \mapsto (\gamma_1(t), \dots, \gamma_n(t))$ est un arc paramétré \mathcal{C}^1 dès lors que les γ_i sont $\mathcal{C}^1(I)$.

Remarque: On peut donc le dériver composante par composante.

Définition 11. Ligne de niveau

On appelle ligne de niveau λ d'une fonction l'ensemble: $C_\lambda = \{x \in \mathcal{U} \subset \mathbb{R}^n, f(x) = \lambda\}$.

Proposition 6. Le gradient est orthogonal aux lignes de niveau i.e. si l'on suppose qu'il existe $\gamma \in \mathcal{C}^1(I, C_\lambda \subset \mathcal{U})$ tel que $f \circ \gamma = \tilde{\lambda}$ alors $\langle \nabla f \circ \gamma, \gamma' \rangle = 0$.

Démonstration 6. On rappelle la règle de la chaîne : $(f \circ \gamma)' = \langle \nabla f \circ \gamma, \gamma' \rangle$. Et donc en appliquant à l'égalité $f \circ \gamma = \tilde{\lambda}$ on trouve bien le résultat.

Exemple: En considérant la fonction $f(x, y) = x^2 + y^2$ on peut paramétrer la ligne de niveau $\lambda \geq 0$ par l'arc $\gamma(t) = \sqrt{\lambda}(\cos(t), \sin(t))$. En effet $f \circ \gamma(t) = \lambda(\cos(t)^2 + \sin(t)^2) = \lambda$.

2.3 Plan tangent à une surface

Pour mieux comprendre la notion, on va introduire la notion d'espace tangent à un ensemble.

Définition 12. Espace tangent

Soit $X \subset \mathbb{R}^n$. On appelle espace tangent à X en a :

$$T_a X := \{\gamma'(0) \mid \gamma \in \mathcal{C}^1(I, X) \text{ un arc paramétré, tel que } \gamma(0) = a\}$$

Le plan tangent est donné par $\mathcal{P}_a X := a + T_a X$.

Remarque: Intuitivement, l'espace tangent est l'ensemble des vecteurs vitesses d'une trajectoire restreinte à l'ensemble, en un point a . C'est donc bien l'ensemble des vecteurs tangents à l'ensemble X en un point a .

Proposition 7. Espace et plan tangent d'une surface paramétrée

On rappelle que la surface associée à $f \in \mathcal{C}^1(\mathcal{U}, \mathbb{R})$ est donnée par $\Gamma = \{(x, f(x)) \in \mathbb{R}^{n+1} \mid x \in \mathcal{U} \subset \mathbb{R}^n\}$ On a ainsi:

$$T_{(a, f(a))}\Gamma = \{(x, z) \in \mathbb{R}^{n+1} \mid z = \langle \nabla f(a), x \rangle\}$$

$$\mathcal{P}_{(a, f(a))}\Gamma = \{(x, z) \in \mathbb{R}^{n+1} \mid z = f(a) + \langle \nabla f(a), x - a \rangle\}$$

Démonstration 7. \subset : Soit $(x_0, z_0) \in T_{(a, f(a))}\Gamma$ alors il existe $\gamma : I \rightarrow \Gamma$ arc paramétré $\mathcal{C}^1(\mathcal{U})$ tq $\gamma'(0) = (x_0, z_0)$ et $\gamma(0) = (a, f(a))$.

On a alors $\forall t \in I, \gamma(t) = (x(t), f(x(t))) \in \Gamma$ et par définition d'un arc, x ici est aussi un arc $\mathcal{C}^1(I)$. D'où $(x_0, z_0) = (x'(0), \langle \nabla f(x(0)), x'(0) \rangle)$ par règle de la chaîne appliquée en $t=0$. Or $\gamma(0) = (a, f(a)) = (x(0), f(x(0)))$ d'où $z_0 = \langle \nabla f(a), x_0 \rangle$ Cependant, $\mathcal{P}_{(a, f(a))}X = (a, f(a)) + T_{(a, f(a))}X$. D'où le résultat.

\supset : Réciproquement, si $z_0 = \langle \nabla f(a), x_0 \rangle$, on peut considérer l'arc paramétré suivant: $\gamma(t) := (a + tx_0, f(a + tx_0))$. On peut alors vérifier que quitte à le définir sur $]-\delta, \delta[$ où $\delta > 0$ on a $a + tx_0 \in \mathcal{U}$. Ainsi on a $\gamma(0) = (a, f(a))$ et $\gamma'(0) = (x_0, \langle \nabla f(a), x_0 \rangle) = (x_0, z_0)$, ce qui finit la preuve.

Justification de la "preuve" intuitive:

Nous rappelons le problème d'origine: $f \in \mathcal{C}^1(\mathbb{R}^2, \mathbb{R})$, et l'on cherche à justifier la forme du plan tangent à sa surface.

A la lumière de cette preuve et de ces définitions, on observe l'explication par deux projections dans \mathbb{R}^2 revient à considérer les arcs paramétrés $\gamma_1(t) = (x_a + t, y_a, f(x_a + t, y_a))$ et $\gamma_2(t) = (x_a, y_a + t, f(x_a, y_a + t))$. Et les deux vecteurs tangents $\gamma_2'(0) = (0, 1, \frac{\partial f}{\partial y}(a))$ et $\gamma_1'(0) = (1, 0, \frac{\partial f}{\partial x}(a))$ engendrent bien l'espace tangent à Γ en le point $(x_a, y_a, f(x_a, y_a))$.

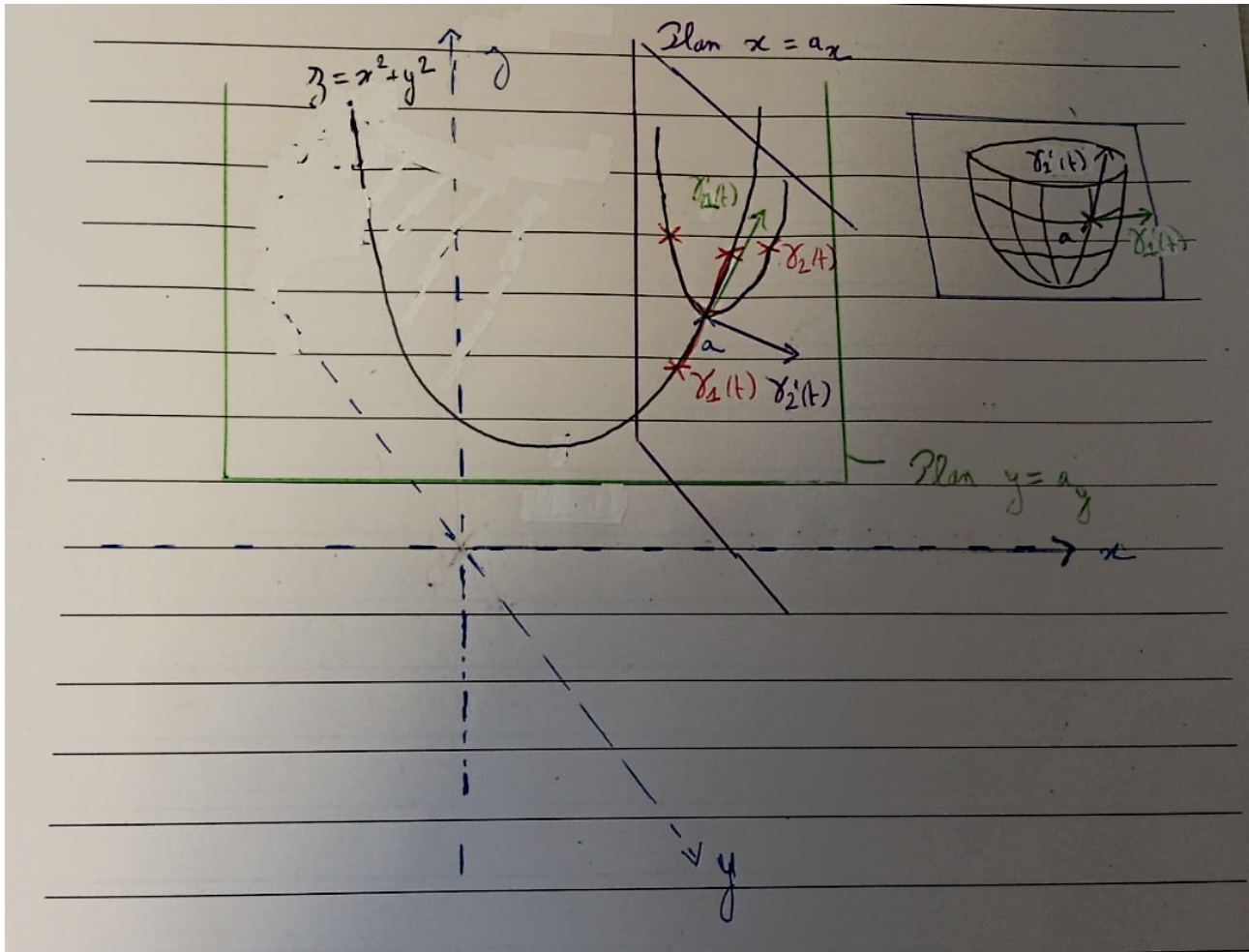


Figure 1: Schéma illustrant les coupes "canoniques" et les vecteurs engendrant l'espace tangent

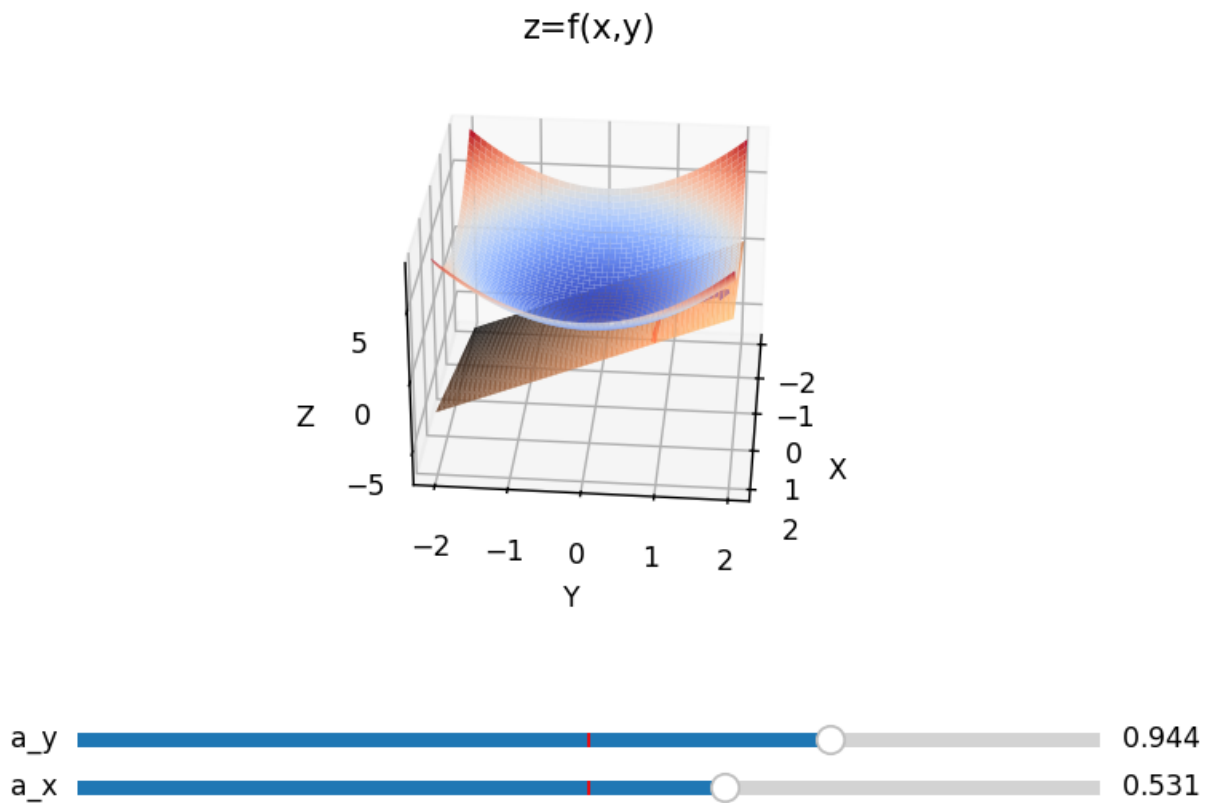


Figure 2: Exemple de rendu d'une surface et de son plan tangent associé

3 Algorithme de visualisation d'un plan tangent

```

1  import numpy as np
2  import matplotlib.pyplot as plt
3  from matplotlib.widgets import Slider
4  from mpl_toolkits.mplot3d import Axes3D
5  from matplotlib import cm
6
7  # Définir la fonction z=f(x,y)
8  def f(x, y):
9      return x**2 + y**2
10
11  def grad_f(x,y):
12      return np.array((2*x,2*y))
13
14  def scalaire(a,b):
15      return a[0]*b[0] + a[1]*b[1]
16
17  # Créer une grille de points
18  x = np.linspace(-2, 2, 100)
19  y = np.linspace(-2, 2, 100)
20  X, Y = np.meshgrid(x, y)
21  Z = f(X, Y)
22
23  # Initialisation

```

```

24 x_a = 0
25 y_a = 0
26
27
28 fig = plt.figure()
29 ax = fig.add_subplot(111, projection='3d')
30 plt.subplots_adjust(left=0.1, bottom=0.35)
31
32
33 surface = ax.plot_surface(X, Y, Z, cmap=cm.coolwarm, linewidth=0)
34
35 # Fonction de mise à jour
36 def update(val):
37     global x_a, y_a
38
39     x_a = x_0.val
40     y_a = y_0.val
41
42     ax.clear()
43     ax.set_title("z=f(x,y)")
44     ax.set_xlabel('X')
45     ax.set_ylabel('Y')
46     ax.set_zlabel('Z')
47
48     ax.plot_surface(X, Y, Z, cmap=cm.coolwarm, linewidth=0)
49
50     Z1 = f(x_a,y_a) + scalaire(grad_f(x_a,y_a),(X-x_a,Y-y_a))
51     ax.plot_surface(X, Y, Z1, cmap=cm.copper, linewidth=0)
52
53     dx_a,dy_a = grad_f(x_a,y_a)
54
55     ax.quiver(x_a, y_a, f(x_a, y_a), 1, 0, dx_a, color='r', length=2, normalize=True)
56     ax.quiver(x_a, y_a, f(x_a, y_a), 0, 1, dy_a, color='b', length=2, normalize=True)
57
58
59     fig.canvas.draw_idle()
60
61 # Créer les axes pour les curseurs, puis les curseurs
62 axcolor = 'lightgoldenrodyellow'
63 ax_x = plt.axes([0.1, 0.1, 0.8, 0.03], facecolor=axcolor)
64 ax_y = plt.axes([0.1, 0.15, 0.8, 0.03], facecolor=axcolor)
65
66 x_0 = Slider(ax_x, 'a_x', -2, 2, valinit=x_a)
67 y_0 = Slider(ax_y, 'a_y', -2, 2, valinit=y_a)
68 x_0.on_changed(update)
69 y_0.on_changed(update)
70
71 plt.show()
72

```